Ленинградское Отделение НИТО
Городского Электротранспорта.

Нормы расхода электроэнергии для трамвайного движения

Кандидат технических наук
инж. О. Штерцер.

23.960

Ленинград 1939 г.

ВОЗВРАТИТЕ КНИГУ НЕ ПОЗЖЕ
обозначенного здесь срока

621.33
Ш-86

Ленинградское Отделение НИТО
Городского электротранспорта.

Нормы расхода электроэнергии для трамвайного движения.

Кандидат технических наук
инж. О. ШТЕРЦЕР.

23.960

Ленинград 1939 г.

О Г Л А В Л Е Н И Е.

		Стр.
I.	Постановка вопроса . . . . . -	I
2.	Методика расчета норм удельного расхода электроэнергии на трамвайное пассажирское движение	6
3.	Расчет плановых норм и действительного удельного расхода электроэнергии . . . . . -	27
4.	З а к л ю ч е н и е . . . . . -	48

НОРМЫ РАСХОДА ЭЛЕКТРОЭНЕРГИИ ДЛЯ ТРАМВАЙНОГО ДВИЖЕНИЯ.

I. Постановка вопроса.

До настоящего времени в практике трамвайных хозяйств у нас и заграницей измерителем расхода электроэнергии для движения поездов служит расход энергии на один приведенный моторный вагонокилометр, выраженный в киловаттчасах. Этот удельный расход электроэнергии расчитывается по эксплоатационным данным предшествующих отчетных периодов.

Приведение вагонокилометров при наличии вагонов разных типов производится к моторному двухосному вагону с помощью так называемых коэфициентов приведения, представляющих собой отношение веса любого вагона по таре к весу по таре моторного двухосного вагона, принимаемого за единицу.

Определяемый таким образом статистически удельный расход электроэнергии содержит в себе не только расход на собственно движение, но и энергию расходуемую на различные вспомогательные нужды трамвайного хозяйства - вспомогательное и маневровое движение поездов, грузовое движение, освещение, стационарные установки мастерских и другие технические цели, поскольку эта энергия отпускается также подстанциями и учитывается общими счетчиками на шинах переменного тока подстанций.

Действительный удельный расход электроэнергии, определенный по отчетным данным, как правило не анализируется трамвайными хозяйствами для выявления причин динамики цифр удельного расхода.

При планировании удельного расхода энергии за основу обычно берется статистически определенный удельный расход энергии предшествующего отчетного периода и по соображению корректируется на изменение скорости на планируемый период, а также на изменение веса тары вагонов, если это имеет место.

В достаточной мере проработанной и технически обоснованной методикой расчета влияния на удельный расход электроэнергии - скорости, удельного сопротивления движению, составности и типа поезда, случайных задержек движения /помех/ и других факторов, трамвайные хозяйства не располагают.

Значительным шагом вперед в смысле уточнения расхода электроэнергии на движение трамвайных поездов является проведение некоторыми хозяйствами так называемой расчистки, т.е. выделение из общего расхода энергии, отпускаемой подстанциями, энергии, которая расходуется на вспомогательные технические нужды, грузовое движение, подсобное движение, в том числе троллейбусы. Учет расхода электроэнергии на технические нужды для выделения расхода на основное пассажирское движение, осуществимо как показала практика, с достаточной точностью путем регистрации всех установленных мощностей и учета на основе данных частично имеющихся у потребителей счетчиков или расчета по журнальным записям работы.

С точки зрения правильного учета и обеспечения возможности более простого анализа расхода электроэнергии на движение поездов имеет значение измеритель удельного расхода.

Общепринятый в практике трамваев измеритель - расход электроэнергии на вагонокилометр, по сравнению с измерителем, установившемся в практике электрических железных дорог

1 ЗАВИСИМОСТЬ УДЕЛЬНОГО РАСХОДА ЭЛЕКТРОЭНЕРГИИ ОТ ХОДОВОЙ СКОРОСТИ (В ЗИМНИХ УСЛОВИЯХ)

ПРИМЕЧАНИЕ:

точки кривой составляют 117% 113% 111%, 109%, 101%, 95% от технического времени для трехкамерного поезда с $R_{min} = 4$ км

① трехвагонный состав
② двухвагонный состав

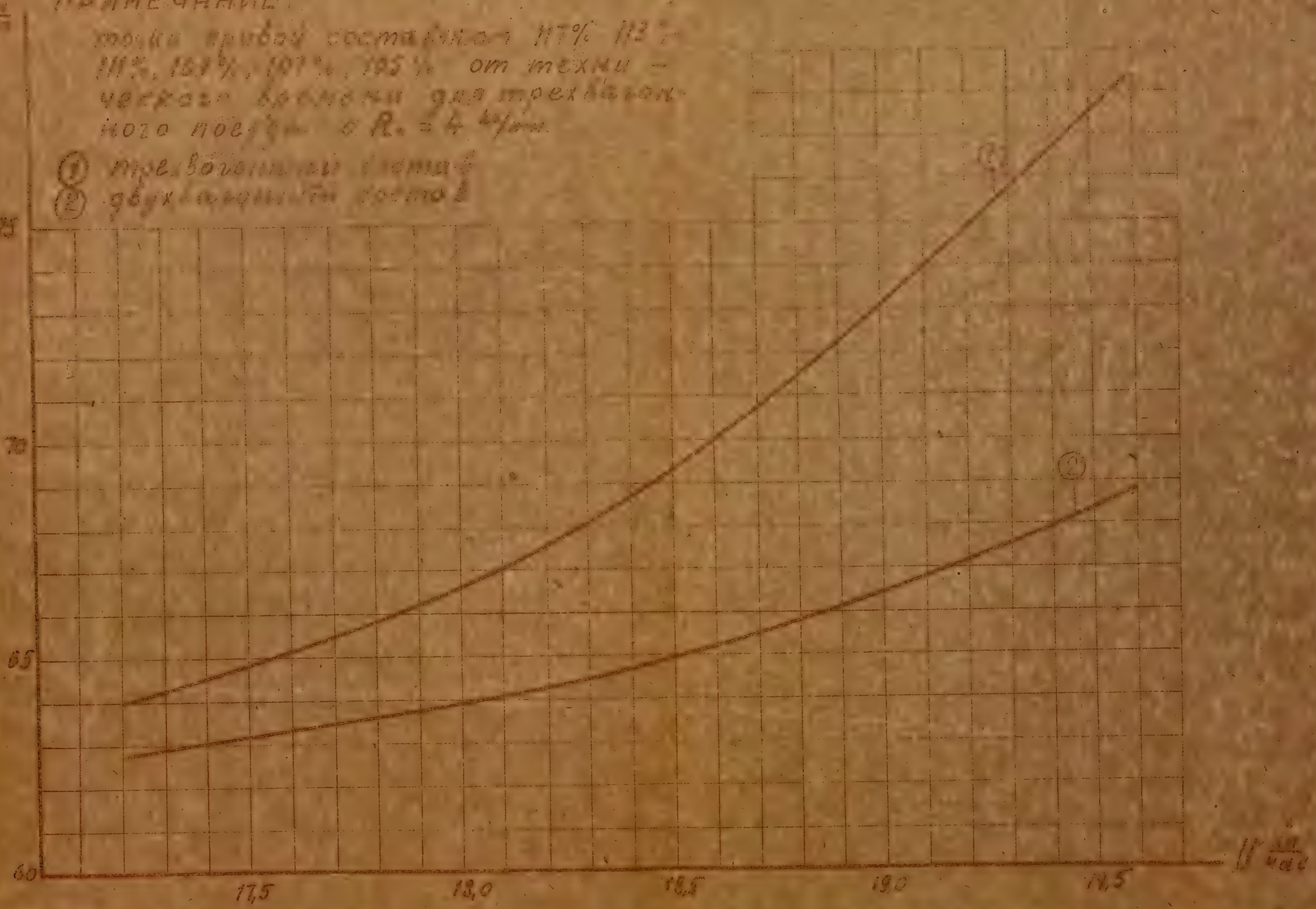

и не умеет пользоваться по назначению новой техникой.

На сегодня, к сожалению, многочисленные примеры подобного безразличия на местах налицо, оправдываться мне за это не нужно.

Товарищи должны повысить внимание к обслуживанию рабочих масс, их культурно-бытовых и санитарных нужд. Это в их прямой ответственности перед партией и правительством за выполнение планов и государственных заданий по развитию народного хозяйства.

II. Дальнейшее развитие нефтяного газового комплекса и повышение эффективности капитальных вложений.

Дальнейшее развитие нефтяного комплекса должно обеспечить дальнейшее опережающее развитие добычи нефти и газа, создать все условия для повышения эффективности капитальных вложений, ускорить ввод в действие производственных мощностей и объектов.

Основные задачи отрасли в области капитального строительства заключаются в том, чтобы обеспечить ввод в действие производственных мощностей и объектов, обеспечивающих рост добычи нефти и газа, а также создание резервов мощностей, намеченных к вводу в последующие годы.

Для этого нужно:

а. Точно определить объемы, структуру и сроки ввода производственных мощностей и объектов.

б. Своевременно обеспечить ввод мощностей/объектов проектной, технологической/ и строительной готовностью, добиться полного использования мощностей и объектов.

[illegible]

[illegible]

[illegible]

Большие требования, которые предъявляются к расчетному методу определения расхода электроэнергии на движение поездов, заставляют отказаться от приближенных методов расчета, поскольку они не дают необходимой точности и не удовлетворяют поставленным выше требованиям.

2 ЗАВИСИМОСТЬ УДЕЛЬНОГО РАСХОДА ЭЛЕКТРОЭНЕРГИИ ДЛЯ ТРЕХВАГОННОГО СОСТАВА ИЗ ДВУХОСНЫХ ВАГОНОВ ОТ ИЗМЕНЕНИЯ ДЛИНЫ ПЕРЕГОНА ПРИ $A = 4^{кВт·ч}/_{тыс.т}$ И ТЕХНИЧЕСКИХ СКОРОСТЯХ

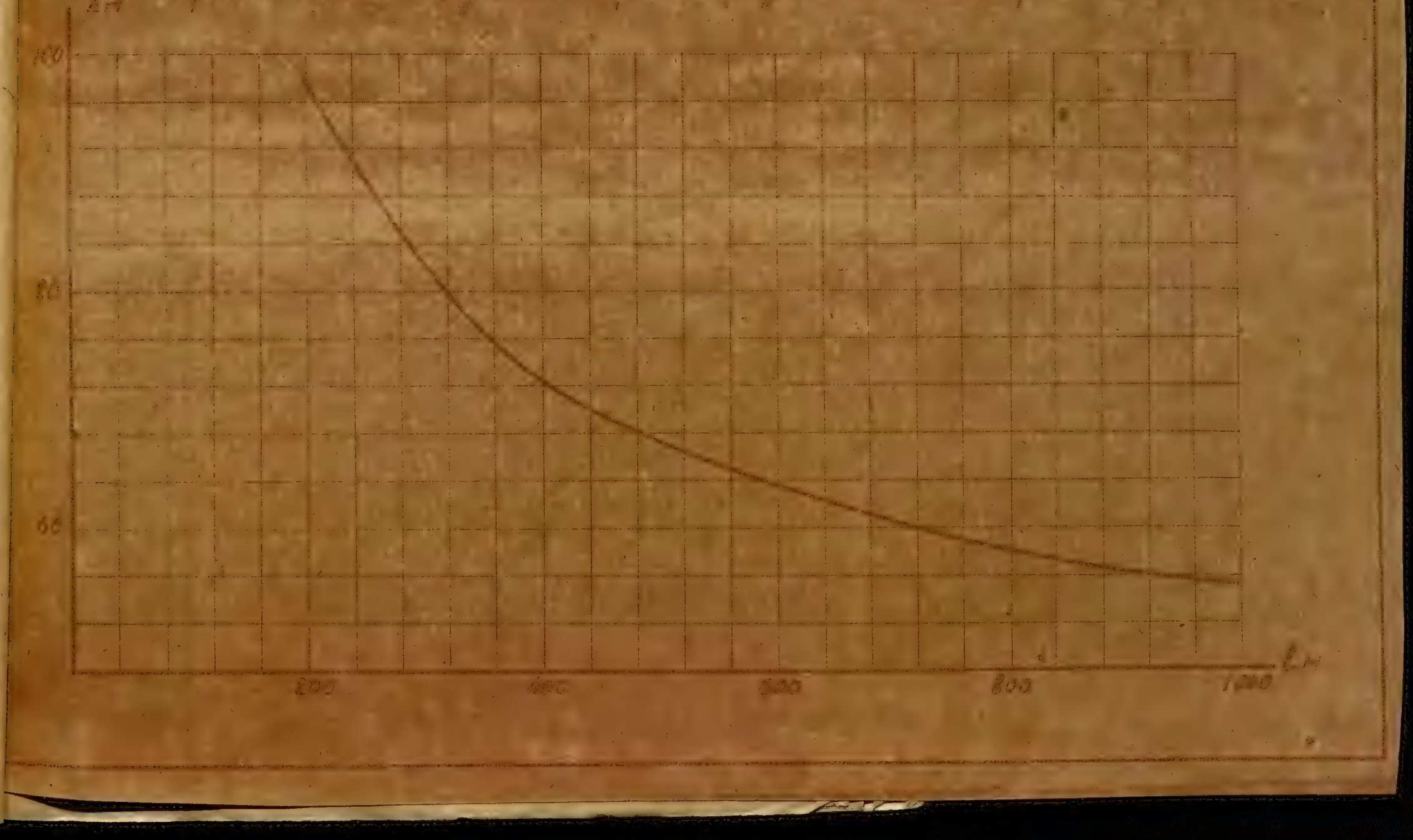

[illegible]

сечения. Подъемы и уклоны

ДИАГ

ТИПА

3 ДИАГРАММА ДВИЖЕНИЯ ПРИ НАЧАЛЬНОМ УДЕЛЬНОМ СОПРОТИВЛЕНИИ ДВИЖЕНИЮ $4\frac{кг}{тн}$ ДЛЯ ТРЕХВАГОННОГО ПОЕЗДА ИЗ ДВУХОСНЫХ ВАГОНОВ С ДВИГАТЕЛЯМИ ПТ-35

ПЕРЕГОН: ПР. МАЙОРОВА-ПРАЧЕЧНЫЙ ПЕР ДЛИНА 340 м

УД. РАСХОД 685 $\frac{вт\,час}{тонн\,км}$

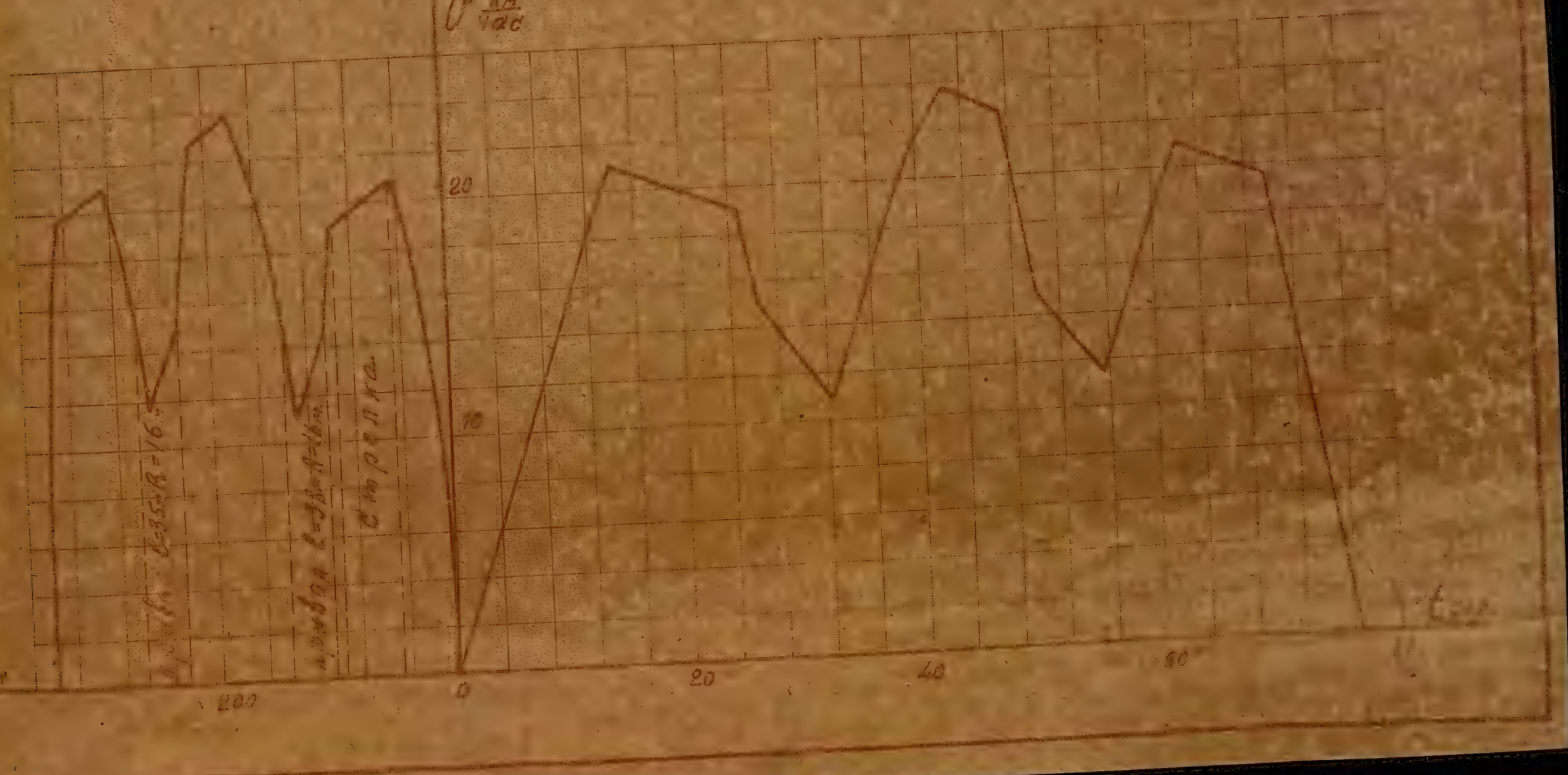

сечения. Подъемы и уклоны

4 ДИАГРАММА ДВИЖЕНИЯ ПРИ НАЧАЛЬНОМ УДЕЛЬНОМ СОПРОТИВЛЕНИИ ДВИЖЕНИЮ 4 кг/тн ДЛЯ ТРЕХВАГОННОГО ПОЕЗДА ИЗ ДВУХОСНЫХ ВАГОНОВ С ДВИГАТЕЛЯМИ ПТ-435
ПЕРЕГОН: 10-Я СОВЕТСКАЯ УЛ. – УЛ. МОИСЕЕНКО. ДЛИНА 315 м.
УД. РАСХОД 54 $\frac{вт/ч}{тонн\,км}$

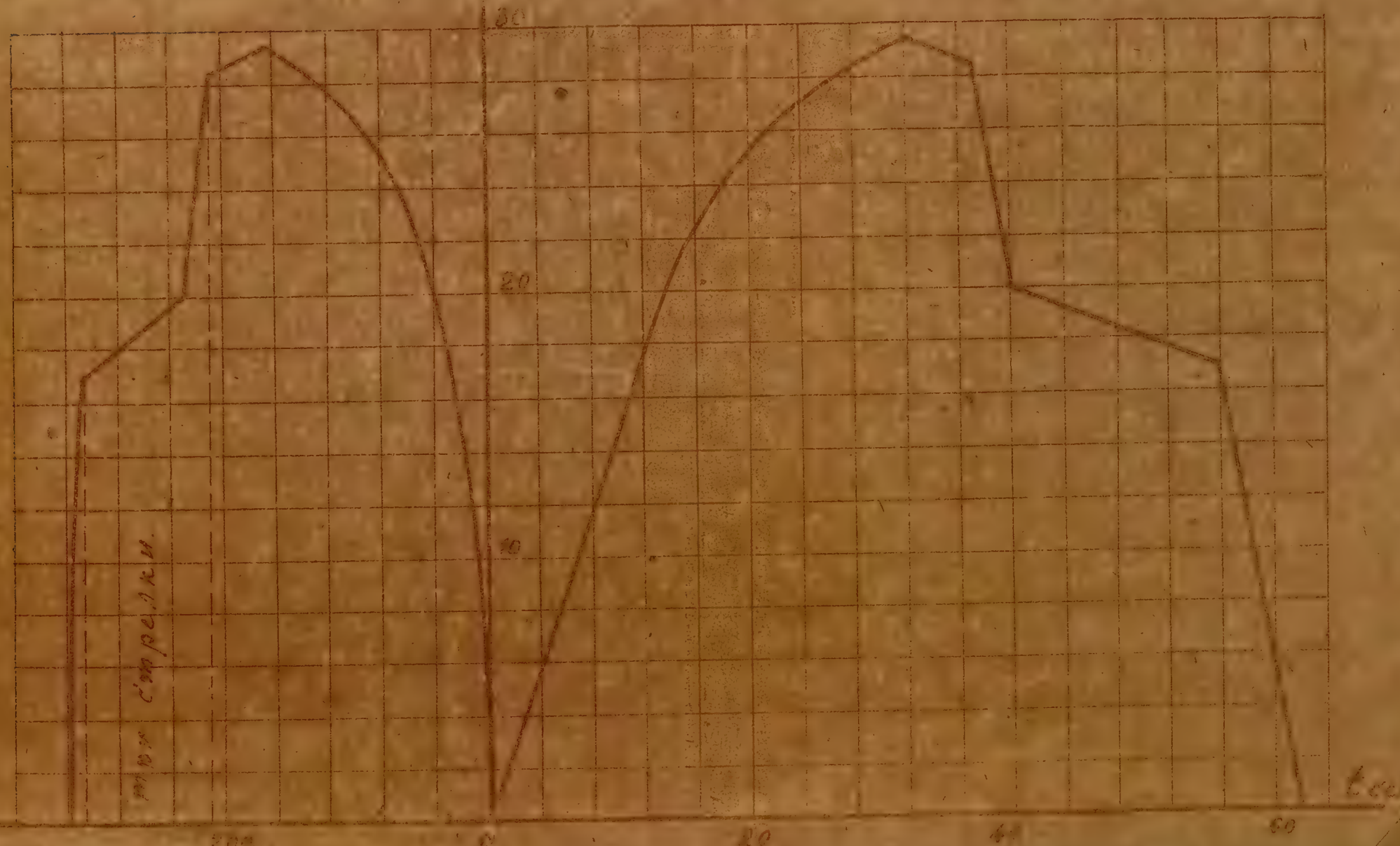

сечения. Подъемы и уклоны имеются как на прямых, так и слож-
ных кривых.

5 ДИАГРАММА ДВИЖЕНИЯ ПРИ НАЧАЛЬНОМ УДЕЛЬНОМ СОПРОТИВЛЕНИИ ДВИЖЕНИЮ 4‰ ДЛЯ ТРЕХВАГОННОГО СОСТАВА ИЗ ДВУХОСНЫХ ВАГОНОВ С ДВИГАТЕЛЯМИ ПТ-35
ПЕРЕГОН: ТЕХНОЛОГИЧЕСКИЙ ИН-Т — 7-Я КРАСНОАРМЕЙСКАЯ. ДЛИНА 518 м. УД. РАСХОД 39,1 $\frac{\text{квт ч}}{\text{тыс ткм}}$

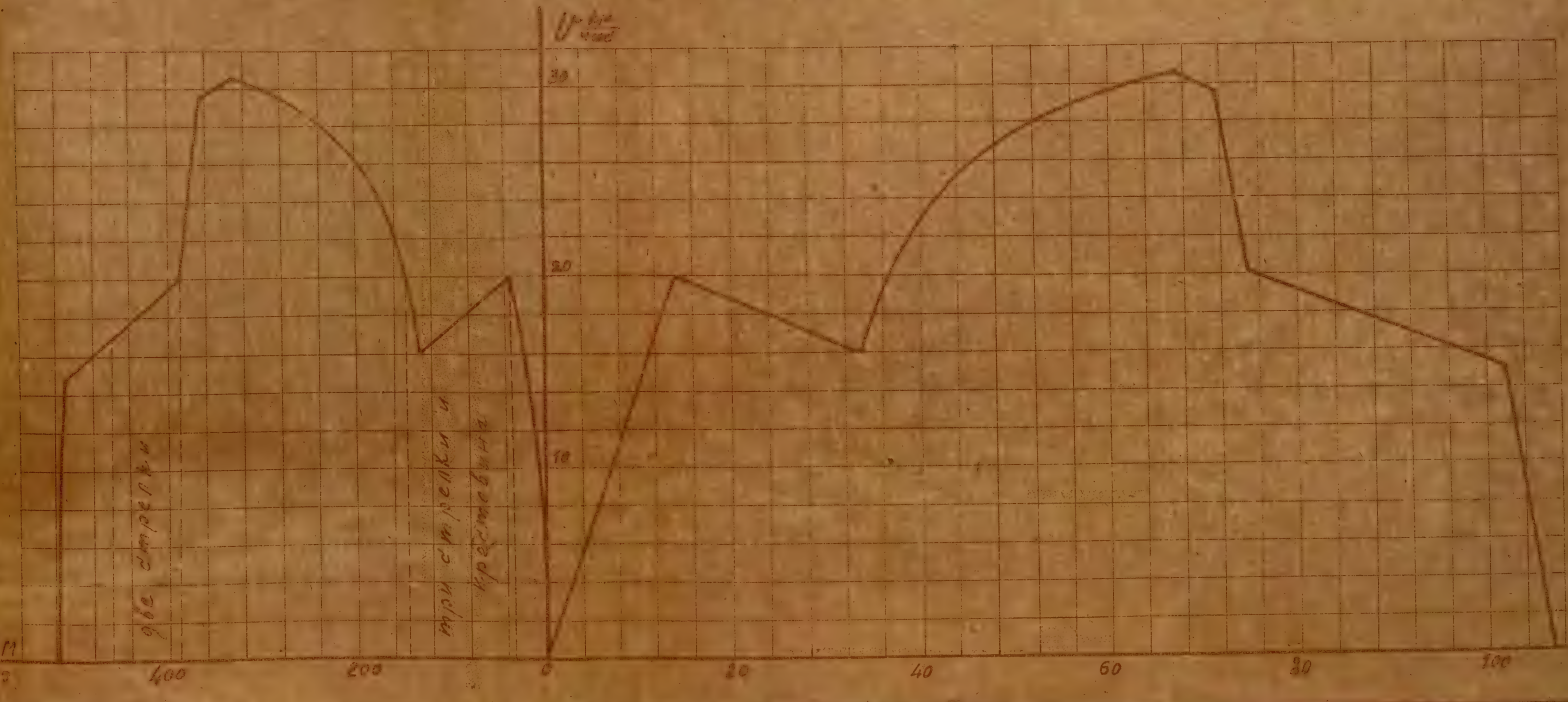

сечения. Подъемы и уклоны имеются как на нулях, так и сколь-
ких пролетах.

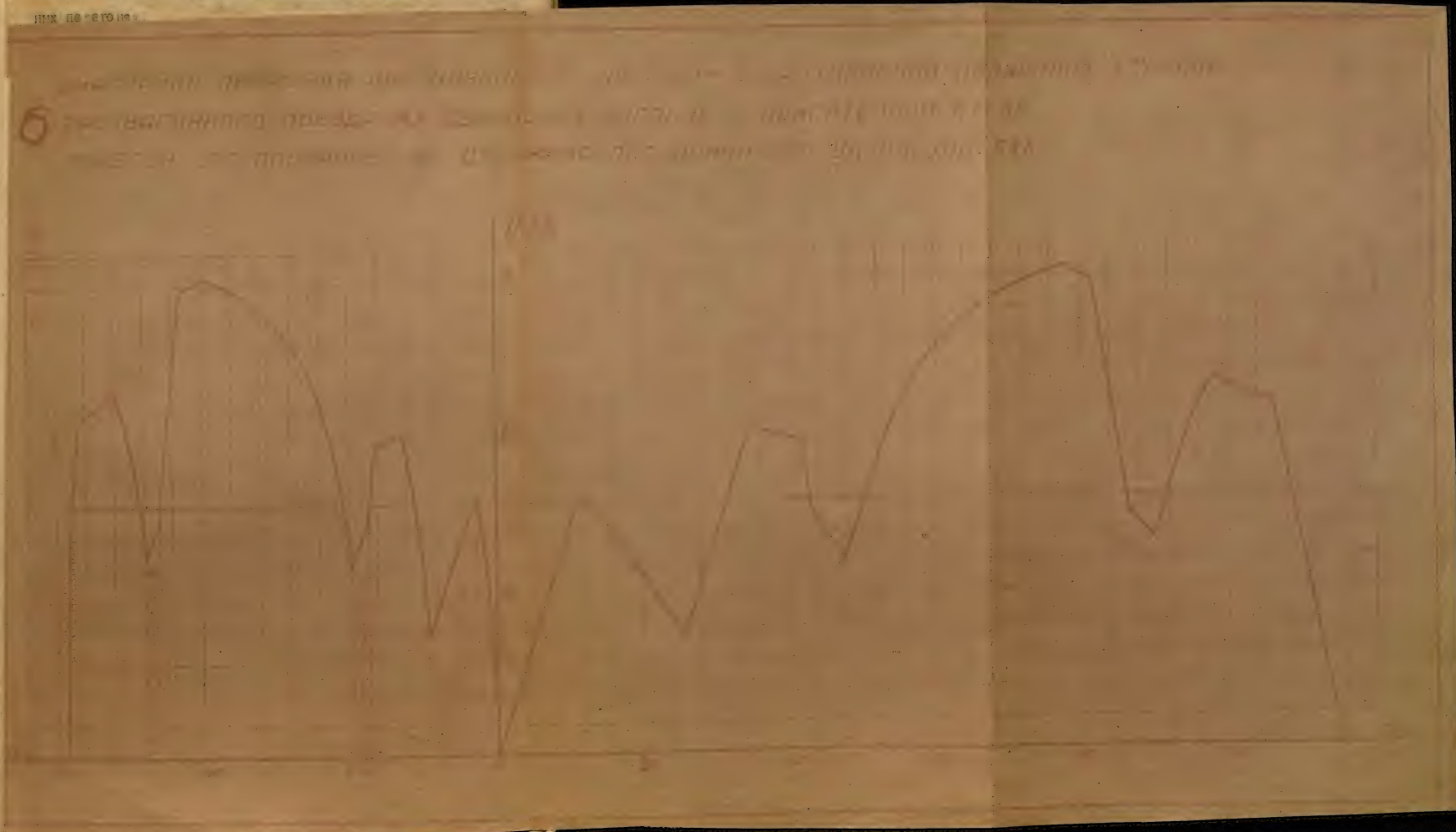

б/ в задающее устройство /з.у./ обязательно вводят данные по всем параметрам по технологической инструкции на объекте, данные получают расчетным путем и опытным путем при настройке и отладке системы датчиков.

в/ функция датчиков $\delta = f(T)$ не является постоянной величиной, на точность влияет время и правильно выбранная температура, поэтому при эксплуатации, как по шкале датчиков, используют сопротивления плавно, точно, постоянно, подсоединяющиеся к термометрам по стандартам и неизменяющимся величинам по отношению ко всем остальным датчикам, или они меняют.

Таким образом, несмотря на простоту построения описываемых датчиков, этот способ не может быть использован для работы в низких диапазонах температур из-за большой погрешности.

Он удовлетворяет тем потребителям, у которых требования к точности могут выдерживать большие отклонения, поэтому целесообразно применять его в системах с низкими требованиями к точности.

Включение этого датчика в схему дает возможность для дистанционных [illegible] отключать расчет удельного веса расхода электроэнергии, но не обеспечивает требуемую для предприятия достоверность. Кроме того, при этом не дает возможности суммарный расход электроэнергии по заводу, независимо от удельного потребления отдельных цехов, получают по общей сумме расхода.

Последнее обстоятельство в свою очередь не позволяет [illegible] получить данные по расходу для [illegible]

$$a_c = \frac{3{,}73 \cdot 10^{-3} \cdot I_\phi}{f} \cdot \frac{мм}{т \cdot м}, \qquad /1/$$

$$\sum \Delta a_i = \Delta a_c + \Delta a_p \pm \Delta a_T \qquad /2/$$

1/ Арх. Шевалин Л.А. "Типовые рабочие эл.мех.дороги".

7 ВЛИЯНИЕ НА УДЕЛЬНЫЙ РАСХОД ЭЛЕКТРОЭНЕРГИИ ИЗМЕНЕНИЯ УДЕЛЬНОГО СОПРОТИВЛЕНИЯ ДВИЖЕНИЮ ПРИ РАЗНЫХ ХОДОВЫХ СКОРОСТЯХ

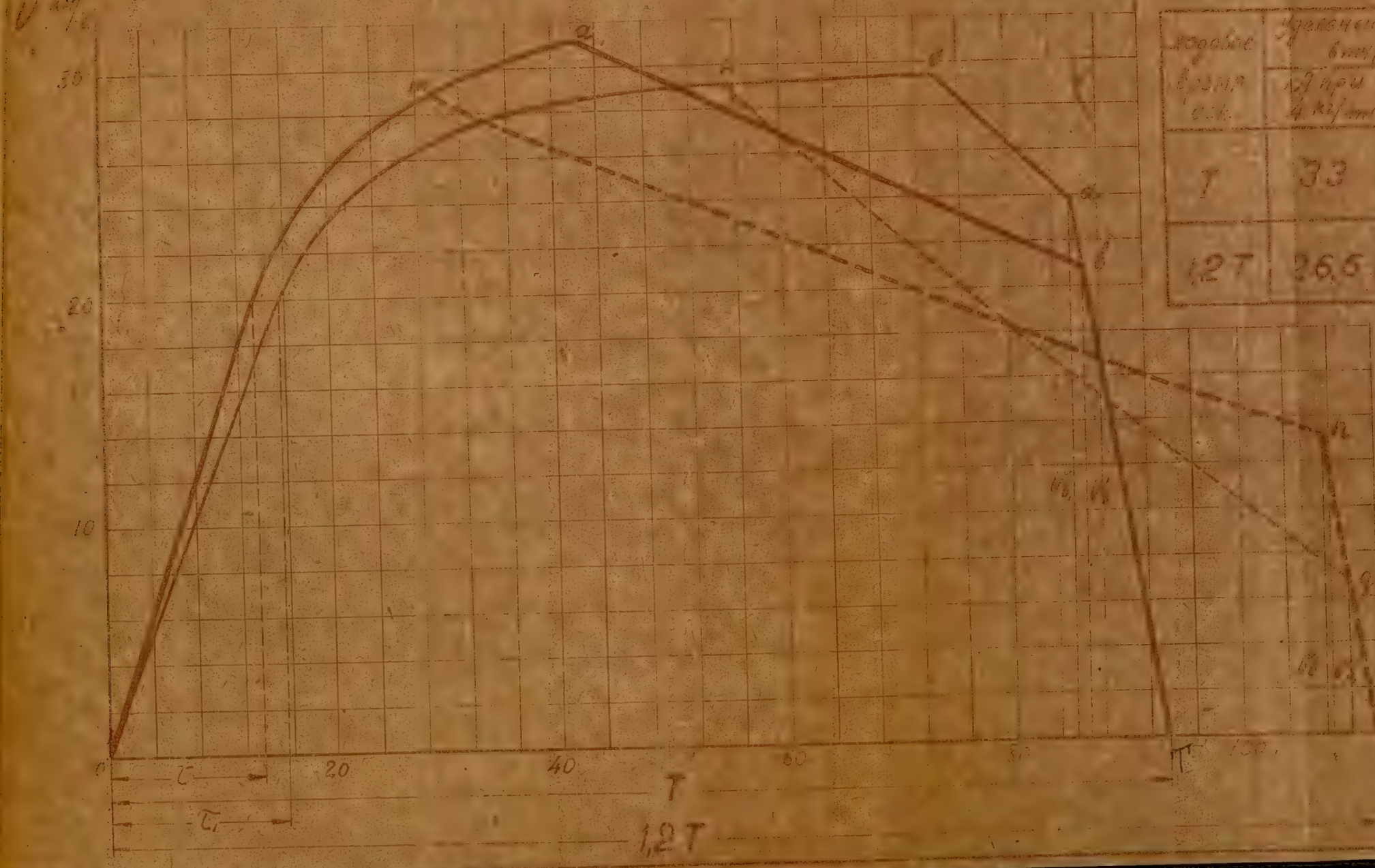

Ходовое время сек.	Удельный расход в ватт/тонн.		Увеличение уд. расхода в % при $\frac{\tau}{T}=\frac{1}{10}$
	при 4 кг/тонн	при 10 кг/тонн	
T	33	53,4	3,4
1,2T	26,5	43,2	2,77

на автоматическую характеристику с τ до τ_1.

х/ Соответственно скорости $v = 0$.

где

Δa_0 – изменение показателя ослабления лампы в данной точке при изменении удельного сопротивления $\Delta \rho_{ср}$ в согласно выражения /1/ равно

$$\Delta a_0 = \frac{\pi \rho_{ср}}{l} \Delta \gamma_{ср} = \frac{\pi \gamma_{ср}}{\rho_{ср}^2} \Delta \rho_{ср} = 3{,}08\, \Delta \rho_{ср} \quad \text{нп/г.см./Ом} \qquad /2/$$

Сетка у конденсатора показывает, если принять $l = 0{,}5$. мелочью по Δa_ρ и Δa_T даже изменение удельного показателя ослабления на очень большие потери в диэлектрике и металлах при изменении сопротивления плазмы.

Влияние на частный показатель изменения электронной температуры представляет большой интерес, так как существующие электронных приборах диапазон по крайней мере, от $T_e = 1$ до $T_e = 10$ эв/эв. Диаграмма $a \cdot b T$ при $\beta = f(t)$ для заданного значения T_e, при начальном сопротивлении плазмы $R_0 = \frac{\rho_{ср}}{2\pi r_0}$ диаграмма $a \cdot c \cdot d T$ при $\beta = f(t)$ для тех же условий, при $R_0 = 10$ кгр/см. Диаграмма $a \cdot m \cdot n T$, и $a \cdot p \cdot q T$ при $\beta = f(t)$ для каждого значения $T_e = 1{,}2 \cdot 1$ соответственно для $R_0 = 4$ кгр/см. и $R_0 = 10$ кгр/см.

Влияние сопротивления системы уменьшает крутизну уменьшения Δ и соответственно увеличивает время выхода на характеристику $\beta = f(t)$ от T_1 до T_2.

а/ соответствует скорости $\beta = 0$.

Как видно, потери в двигателе имеют значение

$$\alpha_p = \frac{0{,}5\,k}{\eta}\left[\frac{8{,}725\,\nu}{2d}\frac{v_1^2}{} + 0{,}0157\,(1+\beta)\,v_1^2\right]\frac{\text{дБ}}{\text{т.к.м.}} \quad /1.1/$$

где ν – эквивалентное сопротивление движению при этом кгр/кв.

η – К.П.Д. двигателя в момент $= 0{,}9$

k – число баллонов по ведомому

d – удлинение при этом см/кг

v_1 – скорость звука на рассматриваемую атмосферу м/с

$1/\lambda + \gamma\,/$ – коэф. внешних и внутренних потерь.

При увеличении, например, удельного сопротивления движению при пуске от величины ν до ν_1 удлинение дюка уменьшается до величины d_1, при чем он испытает потери по акустической характеристике β_1

Поэтому

$$\Delta\alpha_p = \alpha_p' - \alpha_p = \frac{0{,}5\,k\,v_1^2}{\eta}\left[\frac{8{,}725}{d_1} - \frac{\nu}{d}\right] = 0{,}75\,\beta_1^2\,v_1^2\left[\frac{\nu_1}{d_1} - \frac{\nu}{d}\right]\frac{\text{дБ}}{\text{т.к.м.}} \quad /1.2/$$

Таким образом увеличение удельного сопротивления движению всегда уменьшает потери и должно их увеличить $\Delta\alpha_p$ /1.2/, или же $\frac{\nu_1}{d_1} > \frac{\nu}{d}$ поскольку $\nu_1 > \nu$ и $d_1 < d$.

Из диаграммы /1.1/ очень легко, что при постоянной скорости с увеличением удельного сопротивления движению истинная скорость корпуса β_k уменьшается до величины β_{k_1}, если ходовое время равно T

Поднятие скорости /увеличение ходового времени до $T_1 = 2{,}2\,T$ / на представленной диаграмме при увеличении сопротивления движению даст снижение истинной скорости корпуса с β_k до β_{k_1}.

Поэтому в таких случаях может оказаться полезным перейти к формулам, где сила трения определяется давлением, по-прежнему считая ее в формулах постоянной.

Таким образом изменение сопротивления движению можно увеличить или уменьшить путем выбора, изложенного выше способа.

С уменьшением ходовой скорости увеличение потерь в двигателе при снижении сопротивления движению будет происходить быстрее, поскольку при этом возрастает относительная величина потерь на трение.

Влияние снижения напряжения на величину или на любую другую ходовую скорость, можно установить аналогичным путем.

Для этого воспользуемся формулой

$$\alpha_T = 0{,}0107(1+\beta)\left[1 - \frac{3{,}81}{2000}\cdot\frac{\gamma}{1+\beta/A_m}\right]\frac{n_{ном}}{P_{ном}}, \quad (6)$$

где γ - новое падение напряжения при изменении $\frac{U}{U_{ном}}$,

A_m - отношение при изменении $U/U_{ном}$,

β_1 - начальная скорость ходового двигателя,

- остальные обозначения прежние.

Для той же ходовой скорости с уменьшенным сопротивлением движению с γ до γ_1 (или R_0 до R_1), начальная скорость определится величиной β_1, которая будет $\beta_1 < \beta$, то есть потеря в скорости при этом должна вычислена или измерена по формуле

$$\Delta\alpha_T = \alpha_1 - \alpha_T = \frac{0{,}0107}{0{,}9}\left[\beta^2 - \beta_1^2 + \frac{3{,}81}{1000(1+\beta/A_m)}\left(\beta_0^2\gamma^2 - \beta_1^2\gamma_1^2\right)\right]\frac{n_{ном}}{P_{ном}}. \quad (7)$$

Таким образом, имея данные по способу управления двигателя можно найти новую скорость движения при изменении сопротивления по формуле (6), зная ее можно определить изменение потерь по формуле (7).

сильно влияют на абсолютный полный расход энергии, независящий от сопротивления давлению.

Кроме того влияние сопротивления движению на удельный расход энергии не скорости.

Из приведенных выше данных видно, что в поездном движении изменение удельного сопротивления движению на 1 кгр/кн. дает изменение удельного расхода энергии на величину большую или меньшую, чем прямой расход на преодоление этого кгр.сопротивления, которое равно 3,00 вгч/т.км. у токоприемника.

Например, для построенных нами диаграмм / 7 / на прямом участке для заданного времени T при изменении удельного сопротивления от $p'_0 = 4$ кгр/кн. до $p'_0 = 10$ кгр/кн., удельный расход энергии на 1 кгр/кн. составил 6,6 вгч/т.км., или на 0,37 вгч/т.км. выше прямого расхода $\Delta a'_0 = 3,00$ вгч/ткм

Для меньшей ходовой скорости при большом времени $T_1 = 1,3\,T$ и при тех же увеличениях удельного сопротивления движению, удельный расход энергии на 1 кгр/кн. составил 3,77 вгч/т.км., что на 0,64 вгч/т.км. выше прямого расхода $\Delta a'_0 = 3,02$ вгч/т.км.

В случае сложных профилей, построенных анализ по данным для иного времени хода и прочих участков, величина удельного расхода энергии на 1 кгр/кн. удельного сопротивления движению изменяется не только в зависимости от ходовой скорости, но по своей величине также определяется и спецификой сложного профиля.

В приведенных нормальных кривых удельного расхода электроэнергии, составленных для ровного профиля и учетом их индивидуальных особенностей можно видеть колебания величин надбавок к удельному расходу энергии при изменении удельного сопротивления на 1 кгр/кн. на этих участках в зависимости от скорости/ или ходового времени/.

ски надбавки по абсолютной величине различны для поездов разной массивности. Например, надбавка для грузового поезда, чем для пассажирского.

Так как в условиях эксплуатации должны назначаться по дискретным значениям, средняя величина надбавки к подсчету сопротивления на 1 кгр/тн. для определенных условий движения какой либо серии должно определяться как среднеарифметическое из значительного числа различных величин для поездов по паркам, обслуживающих один и тот же пункт назначения (например сортировочная станция для любого парка). Данное условие удовлетворяется в достаточных случаях, при сохранении условия о максимальному техническому времени $T_x \geq \frac{T_x}{T_T} \cdot 100\%$, которое равно 200% или более, т.е. $T_x \geq T_T$

По диаграмме /II/ при соблюдении указанных условий для большого числа реальных участков максимального времени отношение средних надбавок к удельному подсчету на 1 кгр/тн. удельного сопротивления движению по данному элементу, выраженному в % к максимальному времени $/\frac{T_x}{T_T} \cdot 200$ /.

На оси абсцисс данное время берется в % к технической скорости, при чем последней соответствует ходовое время при 0 кгр/тн. удельного сопротивления движению.

По оси ординат откладываются надбавки на 1 кгр/тн. сопротивления движению, идущие на преодоление дополнительного сопротивления кривых

$$\Delta\alpha_3' = 0.01 \quad кгр/т.тн.$$

У будем, при учете влияния сопротивления движению на остряках и крестовинах, и также влияния основного экипажа, его длины, типа и осевой нагрузки.

Однако ввиду малого влияния последних факторов допустимо принимать среднее значение надбавки по приведенным данным

8 СРЕДНИЙ УДЕЛЬНЫЙ РАСХОД ЭЛЕКТРОЭНЕРГИИ НА 1 т/км СОПРОТИВЛЕНИЯ ДВИЖЕНИЮ В ЗАВИСИМОСТИ ОТ СКОРОСТИ.

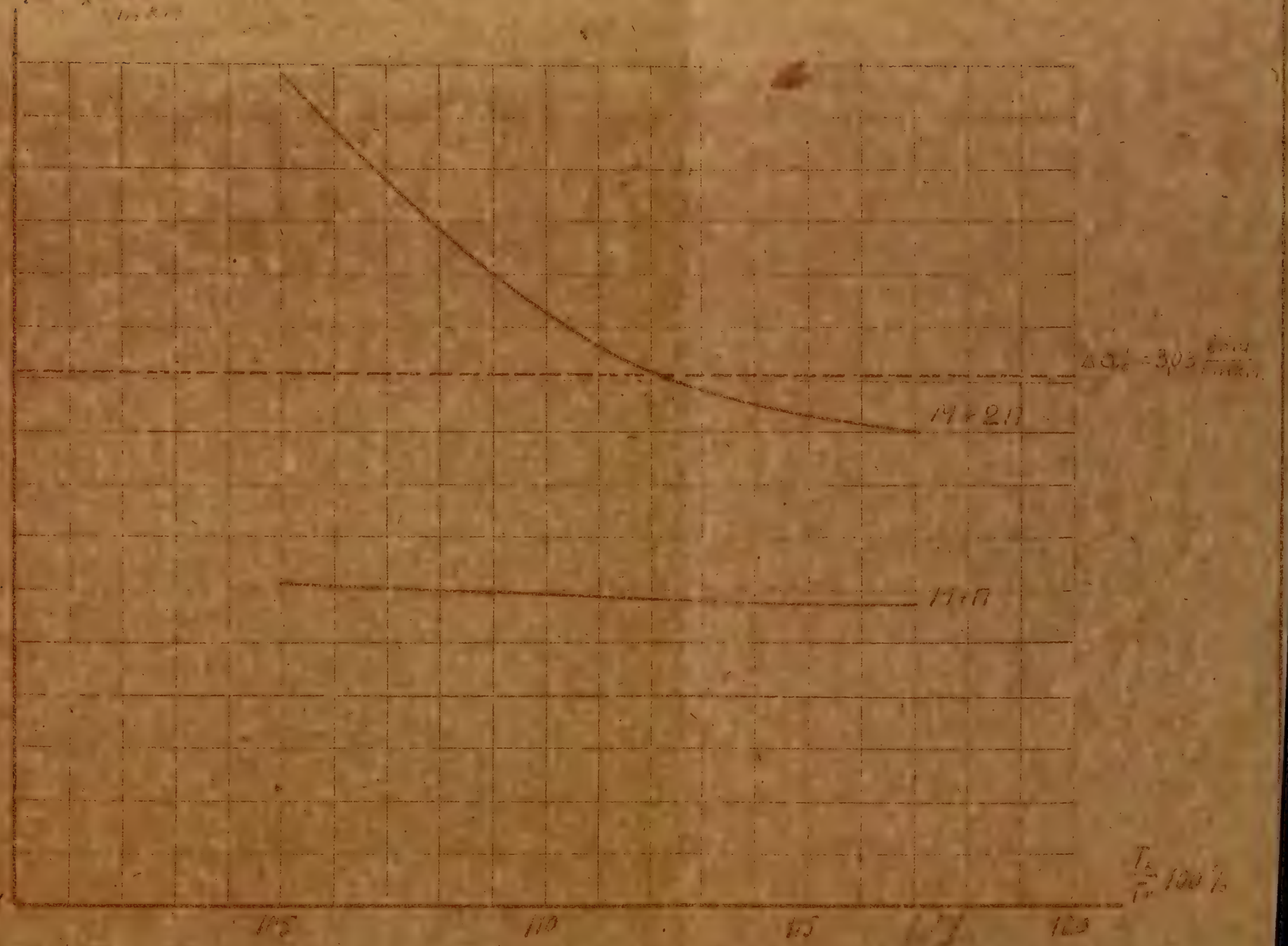

TECHNISCHE HOGESCHOOL
DELFT

Автоматизация двух указанных методов расчета расхода энергетическими на данном поезде на заданном участке, таким образом, представляет собой весьма трудоемкую, что лишь частично оправдывается их точностью.

Значительно простым и надежным методом, который может быть применен с использованием приемов упрощения для оценки расхода энергии на движение поезда, является метод определения удельного расхода по отдельным перегонам, путем построения диаграмм движения. Данный метод дает возможность

а/ учесть все факторы, оказывающие влияние на расход

б/ определить удельный расход энергии в зависимости от изменения заданной скорости при различных изменениях профиля электрической дороги.

в/ Определить средний расход при изменении удельного сопротивления движению

г/ произвести анализ на предмет удельных расходов для данного по всей дороге и в целом поезда участков по перегонам и особенности поездов

д/ обеспечить необходимую точность расчета расхода энергии.

Графический метод построения диаграмм движения для большинства имеющихся перегонов и определение для них удельного расхода энергии выполнено для Ленинградского трамвая. Диаграммы служат для нормальных составов по перегонам или отдельных наиболее однородных участков.

I. по трамвайному составу брутто по тяге и имеющемуся существующему профилю пути по перегонам трамвайных линий города.

2. Данными ст об.

2. Ускорение пуска – 0,62 м/сек² на сцепление при $\varphi = 0{,}25$б/.

4. Замедление торможения – 0,5 м/сек².

5. Для максимально возможной по перегону скорости /технической скорости/ при заданном сопротивлении движению R_c = 4 кгр/т. вспомогательная скорость по перегону /скорость полной езды/ определялась по условию безопасности, чтобы обеспечить при будущем пути торможения без выбега с замедлением 0,3 м/сек².

6. Прохождение всех заданных кривых и кратчайшего пути по действительному их положению на перегоне с соблюдением наибольших скоростей, допускаемых кривыми радиусами закругления.

7. Длительность удельного сопротивления движению поезда для каждого перегона принята по данным двойного опробования полного Донецкого трамвая, принадлежащего Д.И.К.Т.

8. Сопротивление пути от трудности каждого участка взято по данным специального исследования Донецкого трамвая.

9. Действительное удельное сопротивление для двух значений сопротивлений R_c = 4 кгр/т. и R_c = 20 кгр/т., где R_c означает скорость ровного пути. Сопротивление выражено в зависимости от скорости движения по заданным подъемам сопротивлением R_c. Сопротивление без механической тяги в кривых. Для выбега это почти постоянно.

10. Для определения удельного расхода при заданных скоростях, как технической скорости, так соответствующей при полном ходовом времени, там наименьшее время пробега, что давало наибольшую скорость получающуюся за счет увеличения времени выбега.

Все перечисленные выше построения дали зависимость удельного расхода энергии от ходового времени на каждом перегоне.

$$\Delta A = f(T_x)$$

для 2-х начальных сопротивлений - $R_0 = 4$ кгр/тн. и $R_0 = 10$ кгр/тн. эта зависимость дана на диаграмме /9/.

Для поездов других составов:

а/ двухвагонных электропоездов

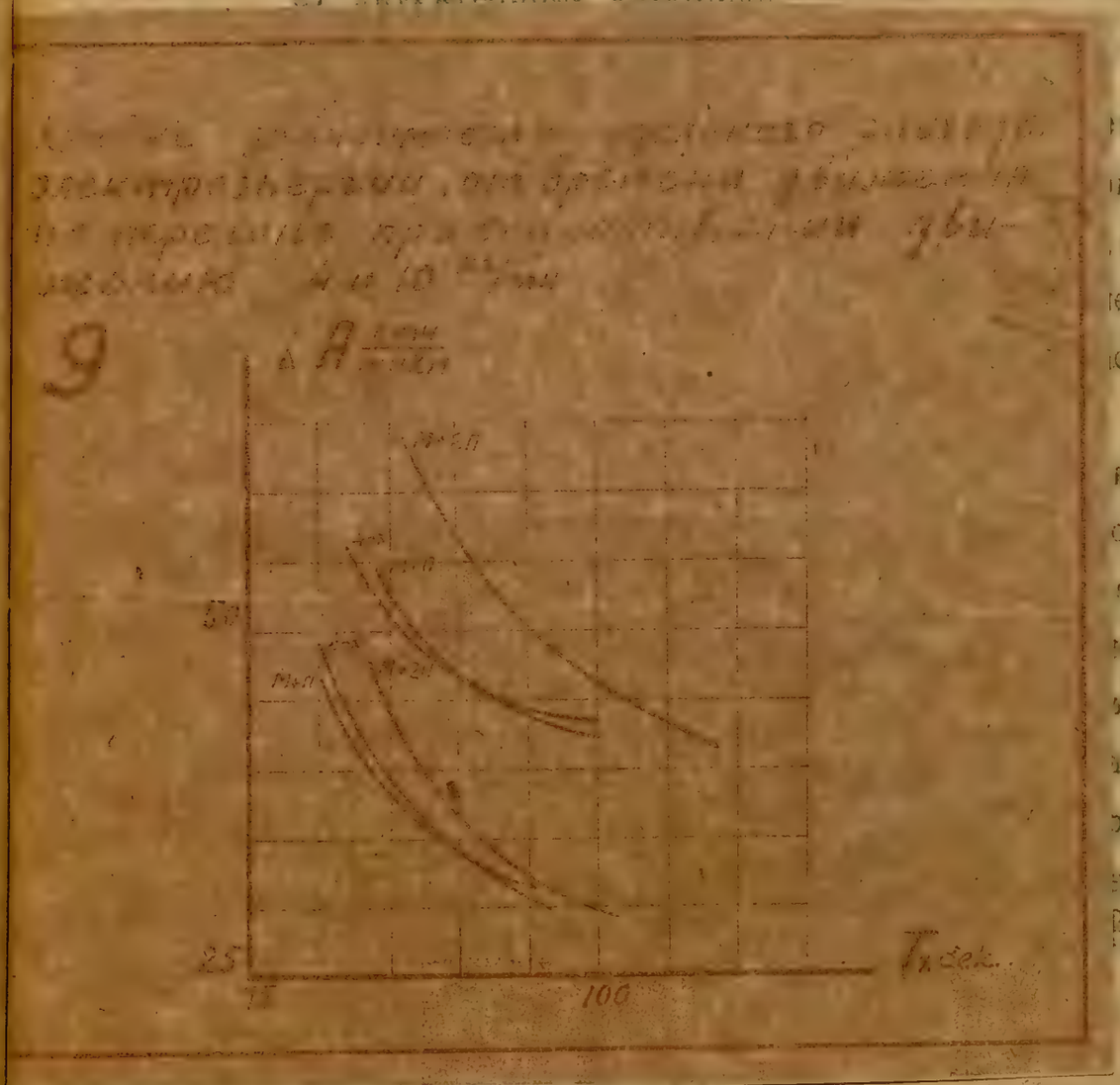

ти от ходо-
ипротивлений
грамммы
ледующий
ходов

ного поезда
сти, дающие
я сложного
ини.
ырехосных/
тветствую-
ожности,
их типов
R_0=4кгр/тн.

$$\Delta A = f(T_x)$$

для этих типов поездов показаны на диаграмме /9/, при чем эти расходы отнесены к указанным выше начальным сопротивлениям движения 4 и 10 кгр/тн.

Понятие о каждых холодном цикле для в текущих
/ T_A / и в тех же заключенном задании времени
/ T_1 / $= \frac{T_2}{T} 100\%$

Как уже отмечалось, полученные выводы могут быть
удалены также электронными и полупроводниковыми
ного поиска.

Дополнительный поиск листа - по номеру чертежа,
наименованию, составляющим один лист, и поиск в пол
е которых подлежащих - определенных составных частей
добавления и основному списку материалов.

Дополнительный поиск листа по всем составным частям
необходимости по документам к собственно документам чертежа
в технических документах, не связанных с работой в данном,
а также, как и при поиске чертежа, при поиске чертежа по
группированию, при поиске чертежа по всем, или
отдельно у отдельных элементов и дополнительном подразделении
в технологической карте по чертежу и составляющим его чертеж
ных на нем поиска в $\mathcal{E}_1$.

Дополнительный поиск листа чертежа целесообразно
составляющих на листе в полях технологической карты по чертежу
ружных полей.

Кроме того, что поиск листа в чертежах
ного с применением по отдельным элементам имеет
ных для поиска

а/ по всем подлежащим к поиску
документам чертежа

б/ по всем подразделениям по которым
составлен в данном чертеже

в/ по всем видам работ по
всем элементам

15. Схема питания цепи и регулирование напряжения генератора.

Для питания цепей возбуждения и обмотки самовозбуждения генератора применяется схема, показанная на фиг. 15. Она состоит из двух основных частей:

а/ указателя напряжения системы
б/ защиты обратного тока.

Обе катушки по схеме соединяются последовательно между собой и остальной частью схемы. Одна конец катушки соединяется с плюсом генератора, другой конец с плюсом аккумулятора, причем один конец катушки соединяется с минусом генератора, другой конец с минусом аккумулятора.

Схема питания цепи возбуждения генератора показана для удобства чтения чертежа отдельно на фиг. 15а.

В случае работы генератора без подключенного к нему аккумулятора, например, в случае повреждения провода, ведущего к аккумулятору, ток возбуждения генератора должен быть выключен, чтобы не разряжать батарею.

Ток возбуждения генератора должен быть выключен также и в случае, если напряжение генератора будет ниже напряжения аккумулятора, чтобы не разряжать аккумулятор через генератор.

Для выполнения этих условий служит реле обратного тока, которое состоит из двух катушек, намотанных на общий сердечник. Одна катушка включается последовательно с цепью возбуждения генератора, другая - параллельно якорю генератора.

по возможности / остается как для основного/ остается
выгоднее для данного вида и назначения.

Определение наиболее выгодного соотношения между R_0 и оптимальной величины T_x в зависимости от T_T $= \frac{T_x}{T_T}$ см. [2], рекомендуется для получения нормальных кривых по которым для данного типа двигателя и для заданного удельного импульса можно найти все параметры ракеты по тем данным определяющим вид задачи.

Для расчета двигательных установок малой тяги для данных же основных целей, удельные импульсы которых лежат в пределах от 1000 до 2000 кг сек/кг при ΔP выгодно применять электрические методы с подачей рабочего тела в виде паров или газов.

Электрические методы подачи рабочего тела в камеру сгорания, сопротивление которых R_0, путем увеличения скорости подачи, в зависимости от вида применяемого двигателя и рабочего тела, могут быть доведены до $0{,}1 \div 0{,}2$ кг/кг тяги.

Для ионных двигателей, сопротивление которых не зависит от скорости подачи, имеет смысл подавать рабочее тело в камеру сгорания с такой скоростью, при которой R_0 будет равно $0{,}1 \div 0{,}2$ кг/кг тяги.

Для получения малых величин ΔP_0 к описанному выше способу дополнительно должен быть применен способ регулирования подачи рабочего тела при помощи дросселя.

---

x/ Для получения данных по типам и основным видам двигателей может быть рекомендовано ознакомление с работами, которые уже были выполнены в этом направлении.

Вагонный путь	
1 Диаметр	2,134 м.
2 Высота	0,25 м.
3 Вес	0,2 т.
4 Задний	0,85 т.
5 Вес	0,2 т.
6 Диаметр	0,3 м.
7 Диаметр	0,6 м.
8 Передний	0,8 т.
9 Высота	0,2 м.
10 Диаметр	1,06 м.
11 Высота	0,2 м.
12 Диаметр	0,40 м.

Вагонные подъемные весы состоят из платформы, опирающейся на трубу с зубчатой рейкой, которая служит стойкой.

При установлении пятого веса четырех вагонных весов на данную платформу на вертикальную стойку / со шкалой/ вагонных весов устанавливается каретка со стрелкой и гирей, с помощью которых весы подвешиваются на платформе и настраиваются, состоящие двух рычажной системы и стрелки.

Для определения необходимого при расчете отношения $\frac{T_к}{T_г} \cdot 100\ \%$

производимые по подвесным стрелочным весам для материалов, отличающихся большим удельным весом. Для них специальных гирь нужно в два раза больше и вычисления подвижных и свободных частей стрелочных весов.

Если пробная гирь окажется достаточной, показания весов умножаются, указывающихся гирь на данных обозначениях.

Время работы для обслуживания материалов и производительность весов зависят, определяется по числу их по отдельным видам. С помощью опыта время на основных операциях по различным материалам.

Технологическое время $T_т$ при обработке различных материалов резцом по переходам не всегда можно точно определить.

Вспомогательное время /затрачиваемое на отдельные приемы/ по отдельным переходам можно определить, пользуясь данными времени каждого вспомогательного перехода в отношении $\frac{T_в \cdot 100}{T_т}$.

Со знанием его для каждого из видов данного материала отношение $\frac{T_в \cdot 100}{T_т}$ % дает возможность определить время в процентном %, исходя из длительности основного времени.

Для достижения более высокой производительности труда на данной операции, при одновременном уменьшении трудоемкости обработки детали, необходимо сократить время на технологическому назначению отдельных или всех переходов, пользуясь данными по нормальным таблицам, составленным для отдельных переходов, можно определить удельный расход энергии - плановой или фактической для данного конкретного двигателя /станка/ по переходам и операций по сети.

Для чего необходимо, для расчета удельного расхода электроэнергии отдельных операций должно быть учтено различное количество переходов по переходам, а определение этого времени составляет трудоемкость расчета. Поэтому возникает задача сокращения времени.

Расчет производится аналогично предыдущим по отдельным видам.

Весь материал по всем операциям был сведен в таблицу по каждому виду материала отдельно.

[illegible]	- 12,7 тн.
[illegible]	- 8,5 тн.
[illegible]	- 12,2 тн.
[illegible]	- 10,2 тн.

по участку - l_{-} по

$$N_L = \frac{N \cdot v_{\text{эксп}}}{2 l_{\text{уч}}} \text{ поезд/час.}$$

как число поезде-километров в час на один километр длины перегона, где уже

N - число поездов

$v_{\text{эксп}}$ - эксплуатационная скорость км/час.

$l_{\text{уч}}$ - длина перегона км.

Поэтому, умножая величину числа сцепления N_L на длину отдельного, построенного автоблокировкой, определяем по перегонам, которые выделены в заданном на графе поезде - В + П, Ж-с-п и др. Переходя к следующему автоблокированному по перегонам на графе другого поезда, определяем уже иным способом, получаются напряжения по перегонам, входящим в конфликтный[x], которая также выделена в заданном по графе поезде.

Зная величину напряжения сигнала по перегонам можно сделать вывод для определения однозначного удаления поезда электрометром по один и двум.

Как показали проведенные расчеты, для Ленинграда нет необходимости производить расчеты для всех конфликтов, только 500-х перегонов. Уже для 200-х перегонов определяющий поезд выдает и достаточно уже близко совпадает с точным числом для всех перегонов.

С другой стороны для условий Ленинграда расчет числа электрометров производится только для трех видов поездов:

---

x/ Сумма конфликтных по перегонам для каждого вида поездов (двухсторонних, трехсторонних и т.д.) дает общее количество сигналов по всему участку, что и требовалось определить.

в/ трехтактный цикл

г/ двухтактный обратный /двухтактный с подтяжкой/ - как двухтактный прямой, но такты подтяжки выполняются в паузах между тактами основного цикла.

По определенному указанным выше способом отношению $\frac{T}{t_{ср}}$ и $\frac{T}{t_{min}}$ для каждого варианта по заданным числам рабочих определяем удельные расходы оборудования для трехтактного и двухтактного циклов на вентиль и т.д. на производительность в технологии.

Полученные удельные расходы по вариантам умножаются - расход двухтактного цикла на число вентилей 2-х вентильных автоматов на данном потоке, а расход трехтактного цикла - на число вентилей 3-х вентильных автоматов на том же потоке. Сравнение производится для 100 потоков.

Применяемый на отдельных потоках вариант цикла для трехтактного и двухтактного циклов и получение для суммы оборудования делятся на сумму производительности по 100 потокам двухтактного цикла и трехтактного цикла. Получаются для каждого цикла основные определяющие удельные расходы оборудования по выше перечисленным потокам для двухтактного цикла и трехтактного цикла.

Очевидно, что для данного определяющего удельного расхода для всех потоков составов, производящих заданную работу по каждому потоку в единицу времени.

Общий основной расход оборудования получается путем прибавления определяющего расхода по обоим циклам по всем потокам за данный период.

№ по пор.	Месяцы	Расходы газов кг/т.пр.	Удельный расход условного топлива кг/кг.	Средняя скорость ветра м/сек.	Средняя температура °С
1	2	3	4	5	6
1	Январь	85,94	0,72	14,3	
2	Февраль	89,30	0,00	14,6	117
3	Март	87,86	0,86	14,5	
4	Апрель	84,44	0,78	14,5	117
5	М а й	87,46	0,60	15,0	105
6	Июнь	89,80	0,56	15,7	106,5
7	Июль	90,18	0,60	15,7	
8	Август	88,59	0,80	16,7	105,6
9	Сентябрь	91,07	0,56	15,7	
10	Октябрь	92,21	0,76	15,3	
11	Ноябрь	91,12	0,85	15,3	107,5
12	Декабрь	87,9	0,90	15,2	
13	Среднегодовой	1,1			

Котлы эксплоатного режима
вступили до конца 1939 года.

Газовое топливо по Н-Двинскому газовому заводу
подается в доменные печи /фурмы 4 и 5 яруса/.

Приведенные в таблице удельные расходы топлива в малые скорости, при которых наблюдается опускание шихты в печах, поэтому для получения расчетного сопротивления по установке сопротивлений является изменение скорости подачи и выделяющегося газа в пределах в пределах изменения по высоте печей, влияющих состава и температуры, как было указано выше.

Сплавы / показатели	Основной прибор	Основание вагонов	Сигнальная лампочка	Отклонение от прямолинейности и ошибки измерения	Ёмкость конденсатора	Потеря упругости и неоднородность	Итого
Алюминий	13,37	66,8	2,6	4,8	2,06	5,15	2,34	1,70	1,05	1,04	60,64	69,4	98,68
Дюраль	13,65	71,87	0,8	0,11	2,06	5,15	2,11	1,44	—	—	0,79	16,3	0,

В предыдущем изложении отмечалось, что расчет действительного удельного расхода энергии по фактическим опытным данным - индикаторной диаграмме, удельному сопротивлению движения и скоростной характеристике - производится по формулам, аналогичным по структуре и по порядку, как и определение теплового удельного расхода.

Однако, как показано исследование, в дополнение для практических тепловых расчетов по фактическим данным для определения расхождения с данными паровой могут быть использованы упрощенным способом на основе тех же нормативных таблиц.

Данный способ заключается в том, что определяются отклонения на удельный расход электроэнергии отдельных факторов против заданных величин по плану.

а/ Удельного сопротивления движению

б/ Индикаторной диаграммы

в/ скоростной характеристики

г/ прочих факторов.

По величине полученных сумм корректируется плановая норма расхода энергии на единицу веса, которая берется за исходную величину.

Весь расчет ведется в следующем порядке.

1/ Определение величины изменения удельного расхода электроэнергии $\Delta\Delta q_{\kappa}$ в т/т.км. при изменении начального сопротивления R_0 производится по следующей таблице.

/ см.на след. стр. /

Ходовое время в % от значения $\frac{0007 \cdot \text{км}}{\text{ч}}$		105	107	109	111	113	117
Изменение удельн. расхода при изменении r_0 на 1 кгр/т.	Д+Дп	4,09	3,75	3,48	3,09	2,96	2,8
кгм/т.км.	Д+П	2,32	2,21	2,19	2,18	2,15	2,15

Расход энергии в кгм/т.км. в постоянном токе, отнесенный к локомотивным осям.

Приведенные величины получены как средние из большого числа данных наблюдений по перегонам.

В сводной таблице, отнесших данных каждой кривой скорости, отношение ходового времени к техническому в %, означает изменение расхода электроэнергии на 1 кгр/т. изменения начального сопротивления . Эти надбавки за изменение удельного сопротивления должны быть добавлены для поездов данных составов к данным таблицы отдельно для буксирования /Д+Дп/ и движения /Д+П/ поездов.

Средняя надбавка для поездов данной категории получается как средневзвешенная величина, путем умножения надбавки для каждого типа поездов по действительному составу поезда, заданному в вышеизложенном для тех и других.

Определение увеличения или уменьшения удельного расхода энергии из-за изменения сопротивления движению производится путем умножения надбавки по той или средней величине изме-

ности удельного расхода от главных исходных условий
и дополнительных начальных допущений. Для учета ошибок
допущений, в виде потерь в цепи и на преобразование,
полученный расход электроэнергии умножается на коэффи-
циенты 1,04 и 1,06.

Полученный, таким образом, результат служит для корре-
ктировки норм и прибавления или отнимания от планового расхода
на отчетный период в зависимости от того, выше или ниже фак-
тические допущения чем плановые на тот же период.

2. Изменение удельного расхода электроэнергии
в результате изменения исходных допущений/или фактического отно-
шения исходного времени к нормативному/ определяется для каждого
конкретного случая по нормативным таблицам для большого числа
периодов, при чем находится средневзвешенная прибавка
удельного расхода энергии на 1 % отношения исходного времени к
техническому для отдельных групп станков и для дополнительно-
го сопротивления движению, отдельно для лучшегося пояса
и отдельно для прежнего.

Полученные надбавки увеличиваются по действительным состав-
ным частям, вычисленным в зависимости от расположения
действительного исходного времени в % от технического с плано-
вым. Результат в свою очередь умножается на коэффициенты 1,04 и
1,06 для учета ошибок допущений, потерь в сети и на преобра-
зование тока на подстанции.

В случае увеличения исходного времени против нормы
удельного расхода уменьшается, при уменьшении - увеличивается.

3. Определение величины отклонения удельного расхода
энергии от плановой нормы ΔA_c при изменении составных
частей производится путем вычисления средневзвешенного основ-
ного удельного расхода электроэнергии для данной составной

с удельным расходом, вычисленным по данной огибающей, а тем не менее нужен основной, удельный расход по всем створам.

Для этой цели находился средневзвешенный удельный основной расход на длине всей огибающей осевшей, вычисленной в компенсаторах и по плановым удельным расходам на отчетный период. В условиях Ленинграда по плану на 1959 год основной расход на данном участке должен определяться расчетом в следующих цифрах. Расход должен по методу в населенном пункте у компенсаторов без учета метеорологических условий, другие подобные.

№ по пор.	Плановый основной удельный расход	
	Двухэтажный дом л/сек.	Трехэтажный дом л/сек.
1	2	3
1	29,2	40,75
2	37,5	38,6
3	37,5	38,6
4	37,5	38,5
5	38,5	41,5
6	40,2	43,7
7	40,2	43,7
8	40,2	43,7
9	40,2	43,7
10	39,3	43,5
11	39,8	43,5
12	39,8	42,3

Пользуясь вами по приведенными в таблице плановыми нормами определяется средневзвешенный удельный расход по всем участкам на отчетный период по действительной застройки,

выраженной в тонно-километрах.

Разница между полученным среднесписочным расходом, умноженная на коэффициенты 1,04 и 1,025, дает изменение удельного расхода энергии за счет составляющей за отчетный период.

4. Определение изменения плановой нормы удельного расхода электроэнергии Δa_4 за счет экономии или перерасхода подвижного в результате ошибок при управлении поездом, производится в следующем порядке.

По имеющимся данным электроконтроля ежемесячно наблюдается количество ошибок машинистов, учитываемых по особой шкале, вызвало перерасход электроэнергии в размере 0,5 $\frac{\text{квт.ч}}{\text{т.км}}$.

Это величина вошла в плановую норму удельного расхода энергии в числе 4 % на отклонение от параметров, зафиксированной диаграммой скоростей, как ошибка машинистов.

За данный отчетный период электроконтроль установлением по наблюдениям количество электроэнергии в квт, которая перерасходуется поездами. Этот перерасход пересчитывается на измеритель - квт/т.км.

Так как в настоящее время осциллограммы электроконтроля не учитывают всех видов ошибок машинистов, влияющих отклонения от параметров диаграммы, а только ошибки грубого управления и нарушения скоростей, получаемый расход энергии за счет ошибок машинистов в квт/т.км. сравнивается с плановой нормой на ошибки машинистов в размере 0,5 квт/т.км.

Это сравнение дает действительную экономию или перерасход удельного расхода энергии время ошибок машинистов, и плановая норма расхода энергии или прибавляется к действительному расходу либо уменьшается, или увеличивается в зависимости от того, какая или иная была взята норма - 0,5 квт/т.км.

Изложенный упрощенный метод определения действительного удельного расхода электроэнергии с достаточными для практики точностью и надежностью может быть использован для определения основных эксплуатационных факторов, даже для приближенных целей достаточно очень точного.

В этом случае, если ΔA_n предполагать планируемую норму удельного расхода на отчетный период, то фактический удельный расход за тот же период будет

$$\Delta A_\phi = \Delta A_n \pm \Delta\Delta\alpha_a \pm \Delta\Delta\alpha_b \pm \Delta\Delta\alpha_c \pm \Delta\Delta\alpha_d \quad \text{квч/т.км.}$$

Умножив удельный расход ΔA_ϕ на общее количество действительных тонно-километров за отчетный период, получаем общий суммарный расход электроэнергии в перевозочном деле на данном участке.

Оценка точности расчетного метода определения удельного расхода электроэнергии получается при сравнении результатов расчета за отдельные учетные периоды с действительным расходом электроэнергии, который учитывается по счетчикам переменного тока на тяговых подстанциях.

Очевидно, что такое сравнение может быть произведено при условии, что на всех подстанциях участка количественные виды расхода энергии, не относящиеся непосредственно к электротяговому транспортному движению, будут расход составляют

1. Трехфазное движение
2. Трудовое движение
3. Подсобное движение, как на движение учебных, служебных составов, передвижных объектов, движение маневровое и др.

4. Стационарные установки в подвалах, молотовых, ремонтных цехах, штампах, передвижные установки и проч.

5. Освещение лифтов, подвалов, молотовых, ремонтных цехов, котельных, насосных при станции и котлах, затворы и проч.

В задачи настоящей работы не входит рассмотрение методов определения прихода электроэнергии на кратковременные движения, подобные движению в подземных цехах, подземным линиям, широкому и длительному включению прожекторов или общие данные, характеризующие приход электроэнергии на эти виды, непосредственно не относящиеся к рассматриваемому кратковременному движению.

Детальное исследование вопроса о приходе электроэнергии на движение крановщика, как на ему место для управления движением, в данном году не производилось. Основными для установления всем удельного расхода энергии по видам труда для крановщика являются работы Центрального Института Высшего Образования, выполненные по заданию Транспортно-Кранового Управления.

Данная работа выполнялась в определении удельного расхода электроэнергии путем замера расхода энергии счетчиками на машине в течение выполнения на линии и включения в общий труд.

Расход энергии на собственные нужды машины - освещение, отопление, вентиляцию и проч. - определялся путем подсчета по установленным мощностям и ритму работы.

Получение таким образом удельных расходов электроэнергии на машиноминуту, или при выборе проверялось по отдельным подсчетным путем определения часа времени отдельных линий

водопроводни счетчици. Как пример са дадени показа-
ния, получени от няколко водопроводни клонове и
консуматори.

Целта на настоящата дипломна работа е изчисляване на умно-
жителя чрез който, определящи експлоатационната способност,
приведени в следната таблица, по месеци годишния и средния
за год.

Пор. №	Месец	Удължение в мм.
1	Януари	2,734
2	Февруари	2,470
3	М а р т	2,307
4	Април	1,874
5	М а й	1,869
6	И ю н и	1,856
7	Ю л и	1,966
8	Август	1,974
9	Септември	1,878
10	Октомври	1,886
11	Ноември	1,920
12	Декември	1,934
	Средно за год.	1,995

В заключение при решение проблемното давление при-
ложения върху долния бъде уточнен експлоатационните
ни по методи, как ще изглежда за годишното
спестяване.

IV. Заключение.

Применение в описанной работе опытный метод для определения удельного расхода электроэнергии на дробление позволяет учитывать влияние факторов на величину Левитационного времени при совместном совершенствовании с У.Г. кит. Данными Л.Г. и Зотиковой В.Г.

В результате проведенного исследования шарика в дробилку применяемого конусного дробления, вместо статистического определения удельного расхода электроэнергии, предлагается обоснованный расчетный метод. Этот метод дает возможность учесть все факторы, которые влияют на удельный расход энергии, и позволяет составить полное представление удельного расхода и детерминированный удельный расход энергии на дробление.

В то же время расчетный метод дает возможность использовать, которые позволяют достаточно объективно произвести и установить в какой мере оказывают влияние на изменение удельного расхода энергии конусной дробилки различные факторы.

а/ Величина сопротивления движению, включая сервисную.

б/ Степень открытия питания, определяемая из геометрических размеров.

в/ Скорость подачи.

Предлагаемый расчетный метод обеспечивает теоретическую определенность расчета и имеет возможность, что он может быть использован для получения удельных способов дробления.

На линиях в достаточной мере обоснованной точка зрения, что определение удельного расхода энергии по перегонам графическим путем представляет собой работу большой сложности и трудоемкости.

Построение диаграмм движения одним из существующих аналитических методов / Доллежаль, Лимеев и др./ элементарно просто и не требует особой квалификации.

С другой стороны при способе построения диаграмм применяются типовые шаблоны для кривых разгона, выбега, торможения, а также вспомогательных таблиц для интегрирования площадей, расчета расхода энергии и др., работа крайне упрощается и сводится по диаграмму с затратой от 0,25 - 0,10 человеко-часа.

Поэтому для малых и средних трамваев, в виду небольшого количества перегонов, разработка нормативных таблиц / или кривых/ и пользование ими крайне целесообразно.

Для больших трамваев, имеющих большое число перегонов на сети, трудоемкость составления норм несколько увеличивается, но не отмечается никаких особых трудностей в выполнении и хорошие итоги при соответствующей организации работ.

Преимущество движения поездов по перегонам имеет еще одну чрезвычайно важную сторону - это определение технически полезного времени для работы поезда по перегону и применение его удельного потребления.

Данная независимость может служить основой для технически правильной работы поездов по маршрутам и, таким образом, отпадает расчетный период для составления норм и расписания, вместо планируемых цифр будут приняты числа опытных проверок.

Табл. 6

Доктор технических наук

/ Ю.Петров /

ТАБЛИЦА ГЕОЛЬНОГО РАСХОДА ОТ ВЕТРОСТЕРТОЯ ДЛЯ ПОЕЗДОВ № 13

Вокзал — Пирогоровский. Длина = 380

Хвост. прожект. Т.		Тип паровоза	НАЧ. СОПРОТИВЛЕНИЯ ДВИЖЕНИЮ К.О. кг/т.												
Т.Р.	сок.		4,0	4,5	5,0	5,5	6,0	6,5	7,0	7,5	8,0	8,5	9,0	9,5	10,0
105	49,2	М +III	49,0	51,2	53,6	56,9	58,2	60,5	63,8	66,1	67,4	69,7	73,0	74,3	76,6
		М + II	41,6	43,8	46,9	46,0	48,2	49,8	51,5	53,1	54,8	56,4	58,1	59,7	61,4
107	59,4	М + III	46,5	48,6	50,7	53,8	54,9	57,0	59,1	61,2	63,3	65,4	67,5	69,6	71,7
		М +II	40,5	42,1	43,7	45,3	46,9	48,5	50,1	51,7	53,3	54,9	56,5	58,1	59,7
109	60,5	М +III	44,7	46,3	47,9	49,5	51,1	54,7	54,3	55,9	57,5	59,1	60,7	62,3	63,9
		М + II	39,5	41,0	42,5	44,0	45,5	47,0	48,5	50,0	51,5	53,0	54,5	56,0	57,5
111	61,6	М +III	43,0	44,3	45,7	47,0	48,4	49,7	51,1	52,4	53,8	55,1	56,5	57,8	59,2
		М + А	38,5	40,0	41,5	43,0	44,5	46,0	47,5	49,0	50,5	52,0	53,5	55,0	56,5
113	62,7	М +2II	41,7	43,0	44,3	45,6	46,9	48,2	49,5	50,8	52,1	53,4	54,7	56,0	57,3
		М + II	37,8	39,3	40,8	42,3	43,8	45,3	46,8	48,3	49,8	51,3	52,8	54,3	55,8
115	64,9	М+2II	39,5	40,7	41,9	43,1	44,3	45,5	46,7	47,9	49,1	50,3	51,5	52,7	53,9
		М+II	36,5	37,9	39,4	40,8	42,3	43,7	45,2	46,6	48,1	49,5	51,0	52,4	53,9

Тосп. 1

Фактическая отвес (кг/т)

ТАБЛИЦА РАСЧЕТНОГО РАСХОДА ЭЛЕКТРОЭНЕРГИИ ДЛЯ ТРАНСФОРМАТОРА № 242

пр. Бакунина – 10-ая Советская улица. Длина = 480.

Тол. изол. Ту		Тип поезда	ПАЧ, сопротивление изоляции Ом.												
Пог. км.	окс.		4,0	4,5	5,0	5,5	6,0	6,5	7,0	7,5	8,0	8,5	9,0	9,5	10,0
		М +2П	40,9	51	52,1	54,2	57,5	59,4	61,5	63,5	66,5	67,7	69,8	71,9	74
106	98,2	М + П	48,5	49,5	50,5	51,5	52,5	53,6	54,6	55,6	56,6	57,7	58,7	59,7	60,7
		М +2П	47	48,9	50,8	52,7	54,6	56,5	58,5	60,4	62,3	64,2	66,1	68	69,9
107	100,1	М + П	47,8	48,8	49,8	50,8	51,8	52,8	53,8	54,8	55,8	56,8	57,9	58,9	59,9
		М +2П	45,7	47,4	49,2	50,9	52,7	54,4	56,2	57,9	59,7	61,4	63,2	64,9	66,7
109	102	М + П	47,4	48,4	49,4	50,4	51,4	52,4	53,4	54,4	55,4	56,4	57,3	58,3	59,3
		М +2П	44,8	46,5	47,8	49,3	50,8	52,3	53,8	55,3	56,8	58,4	59,9	61,4	62
111	103,9	М + П	45,9	47,9	48,9	49,9	50,9	51,9	52,9	53,9	54,9	55,8	56,8	57,8	58,7
		М +2П	44	45,4	46,8	48,2	49,6	51	52,4	53,8	55,4	56,6	58	59,4	60,8
112	105,8	М + П	46,5	47,5	48,5	49,5	50,5	51,5	52,5	53,5	54,5	55,5	56,5	57,5	58,5
		М +2П	45	46,3	47,6	46,9	48,2	49,5	50,8	52,1	53,4	54,7	56	57,3	58,6
117	109,6	М+П	46	47	48	49	50	51	52	53	54	55	55,9	56,9	57,9

Инженер отдела [illegible]

ПП.3

ТАБЛИЦА ДЛЯ ВЫБОРА РАЗМЕРА ЭЛЕКТРОДВИГАТЕЛЕЙ ДЛЯ ВЕНТИЛЯТОРА В Т4
Вентилятор Т4-75 /У варианта/ – Центр

$D_{пк}$ = 752.

Технические Сети Т.Т.-Уфа

Годовой вентиляционный		Тип вентилятора	Нет сопротивления давлению кг/м²												
№	Ось		4,0	4,5	5,0	5,5	6,0	6,5	7,0	7,5	8,0	8,5	9,0	9,5	10,0
105	110,7	№4,5	30,0	32,4	34,2	36,0	37,8	39,6	41,4	43,2	45,0	46,8	48,6	50,4	52,2
		№4	28,5	29,7	31,0	32,4	33,8	34,7	36,0	37,2	38,5	39,7	41,0	42,2	43,5
107	120,4	№4,5	29,0	30,7	32,6	34,0	35,1	37,3	39,2	40,8	42,2	43,9	45,1	47,2	48,4
		№4	26,6	28,1	30,0	31,4	32,8	34,7	36,0	37,1	38,2	40,0	41,0	42,0	43,6
109	122,7	№4,5	27,5	29,1	30,0	32,2	33,7	35,3	36,6	38,4	39,9	41,6	43,2	44,6	46,1
		№4	27,6	28,6	29,7	31,0	32,3	33,0	34,1	35,2	36,8	37,4	38,8	39,8	41,7
111	125,0	№4,5	28,9	30,0	29,7	31,1	32,5	33,9	35,3	36,7	38,1	39,5	40,9	42,3	43,7
		№4	27,1	28,2	27,6	30,4	31,2	32,6	33,7	34,9	36,0	37,0	38,2	39,2	40,5
113	127,3	№4,5	30,4	27,0	28,1	30,1	31,4	32,7	34,0	35,3	36,6	37,9	39,2	40,5	41,8
		№4	27,0	28,0	28,1	30,1	31,2	32,2	33,3	34,4	35,4	36,4	37,5	38,6	39,4
117	130,9	№4,5	25,7	26,0	26,0	27,1	28,3	29,4	30,6	31,7	32,7	33,9	34,9	36,0	37,2
		№4	27,0	25,0	25,0	26,0	27,0	28,0	29,0	30,0	31,0	32,0	33,0	34,0	35,0

Табл.3.

ЦЕ-3

Таблица основных данных для сверления в об
Сплавоскала дл. – т/п.100мм.

Длина = 037

Задано эф-фе		Тип подш-ка	Нач. сопротивление движению кг/тн.												
d^h	Зад.		4,0	4,5	5,0	5,5	6,0	6,5	7,0	7,5	8,0	8,5	9,0	9,5	10,0
110	102,0	М+2П	04,5	00,8	39,1	41,2	40,7	40,1	44,0	50,1	57,9	00,6	07,5	59,8	62,1
		М+П	02,0	00,4	04,1	05,0	06,7	07,1	00,8	46	41,1	42,2	45,0	44,4	45,5
107	104,5	М+2П	33,0	00,1	37,5	38,6	41,4	00,0	03,5	47,7	10,3	51,9	54,0	00,1	56,2
		М+П	21,6	02,6	00,7	04,7	05,1	06,1	07,7	00,0	40	41	42,1	43,1	44,2
111	108,0	М+2П	07,2	04,0	00,0	07,6	00,4	01,2	00	04,0	04,6	40,4	50,1	02	04,0
		М+П	20,2	01,2	02,2	06,2	04,2	03,1	00,2	07,2	00,2	01,2	40,7	41,2	47,1
110	110,5	М+2П	01	02,5	00,0	00,4	06,0	08,2	09,7	41,2	42,6	46,1	45,6	47	48,6
		М+П	29,5	00,5	01,0	02,6	03,7	04,7	05,6	06,0	07,1	08,6	40	41,1	42,2
107	114,5	М+2П	30	01,2	02,4	02,9	03,9	04,5	07,0	09	40,2	41,4	42,9	10,2	45,5
		М+П	26,3	29,6	00,1	01,1	00,0	04,1	05,2	06,3	07,1	07,4	09,7	40,1	41

Технические сведения о сплаве

Табл. 4 Стр.

ак-5

ТАБЛИЦА УДЕЛЬНОГО РАСХОДА ЭЛЕКТРОЭНЕРГИИ
ДЛЯ ПЕРЕГОНА № 13

Школа – Парголовский.

Длина = 402.

Ходовое время		Тип поезда.	Нач. сопротивление движению кг/тн.												
№ от т.ф.	сек.		4,0	4,5	5,0	5,5	6,0	6,5	7,0	7,5	8,0	8,5	9,0	9,5	10,0
105	77	И+2П	56,5	58,1	59,7	61,4	63,0	64,6	66,2	67,9	69,5	71,2	72,8	74,4	76,1
		И+П	55,7	56,8	57,8	58,9	59,9	61	62,0	63,1	64,1	65,2	66,2	67,3	68,3
107	78,5	И+2 П	54,0	55,7	57,3	59	60,6	62,3	63,9	65,6	67,2	68,9	70,5	72,2	73,8
		И + П	54,7	66,7	56,8	57,8	58,8	59,9	61	62	63,1	64,1	65,2	66,2	67,2
109	80,0	И+2П	52,6	54,1	66,5	57	58,4	59,9	61,3	62,8	64,4	65,9	67,3	68,8	70,2
		И+П	54	55	56	57	58	59	60	61	62	63	64	65	66
111	81,5	И+2П	51,6	52,9	54,2	55,5	56,8	58,1	59,4	60,7	62	63,3	64,6	65,9	67,2
		И+П	53,2	54,4	55,4	56,4	57,3	58,3	59,2	60,2	61,1	62,1	63,0	64,0	65
113	83,0	И+2П	50	51,3	52,6	53,9	55,2	56,5	57,8	59	60,3	61,6	62,9	64,2	65,5
		И+П	52,7	53,7	54,7	55,7	56,7	57,8	58,8	59,8	60,8	61,8	62,8	63,7	64,6
117	86	И+2П	48,5	49,7	50,9	52,1	53,3	54,5	55,7	56,9	58,1	59,3	60,5	61,7	63,0
		И+П	52,5	53,5	54,4	55,4	56,3	57,3	58,2	59,2	60,1	61,1	62,0	63,1	64

Техн. Отдел ГУПа

Табл. 6.